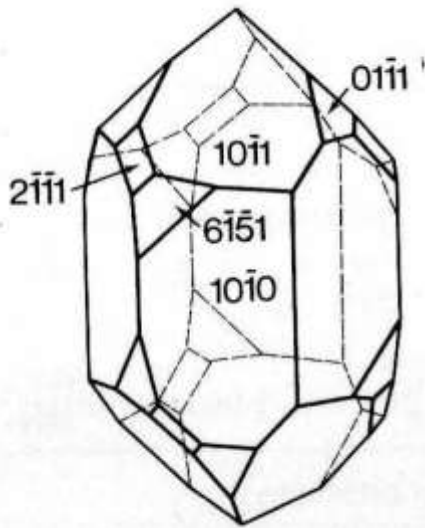
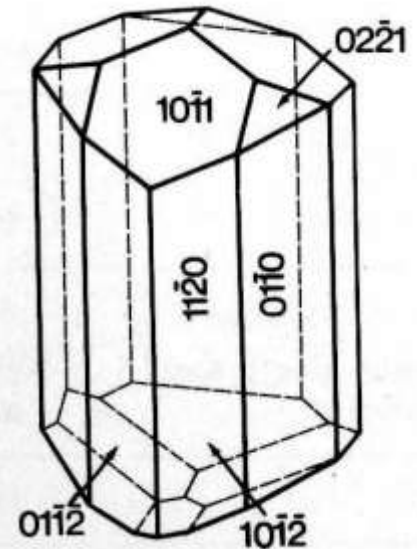


# Cristallografia Morfologica



Quarzo



Tormalina

# Misura degli angoli diedri

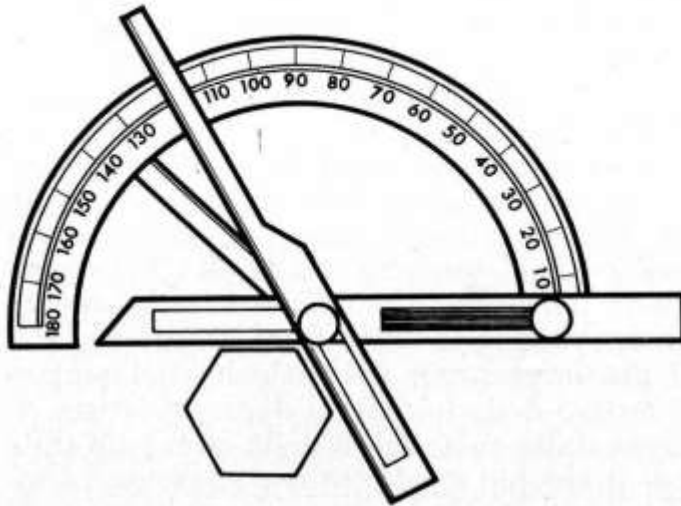
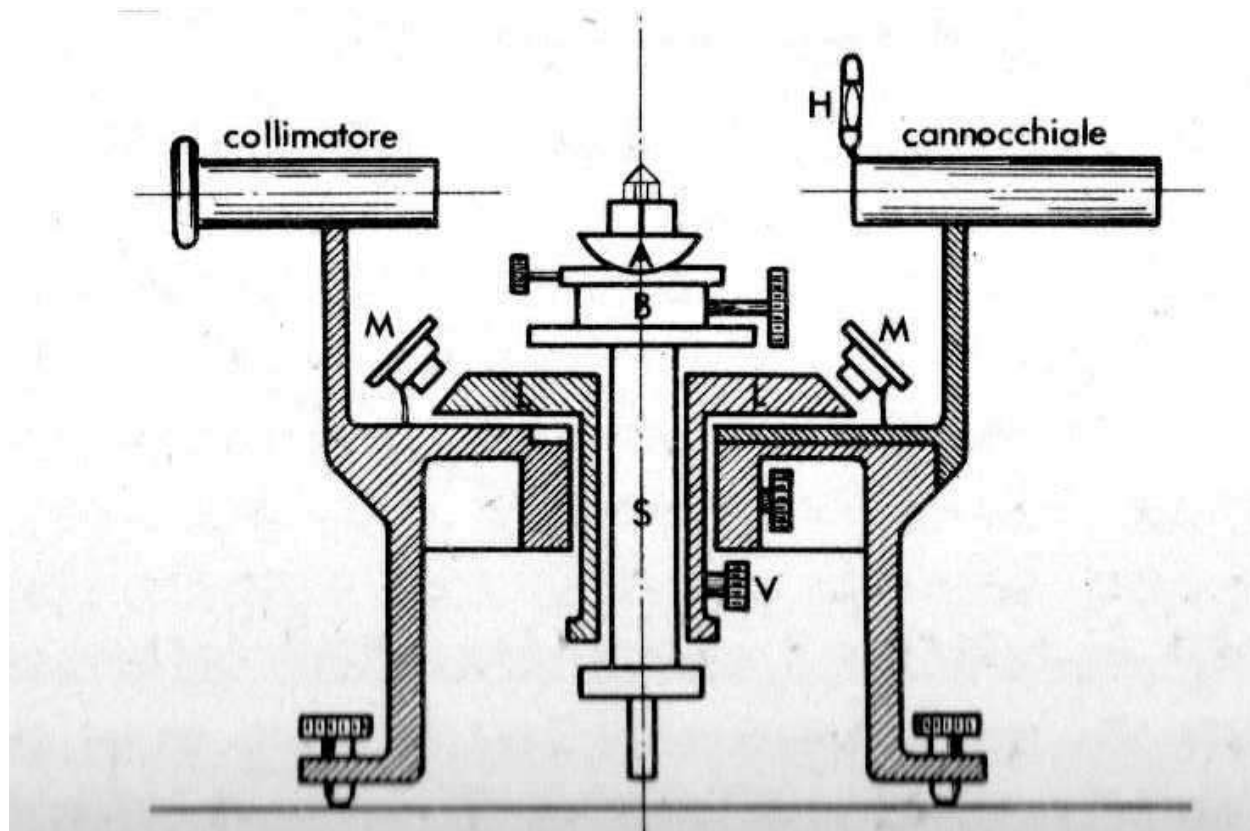


Fig. 9.1

Fig. 9.1 Goniometro ad applicazione o di Carangeot.

Fig. 9.2 Schema del principio su cui si basano i goniometri a riflessione: AB e BC sezioni di due facce del cristallo col piano del disegno,  $\alpha$  angolo diedro tra le facce AB e BC,  $\beta$  angolo tra le normali, SB direzione del raggio di luce incidente, BO direzione del raggio di luce riflesso da una faccia del cristallo.



# Misura degli angoli diedri

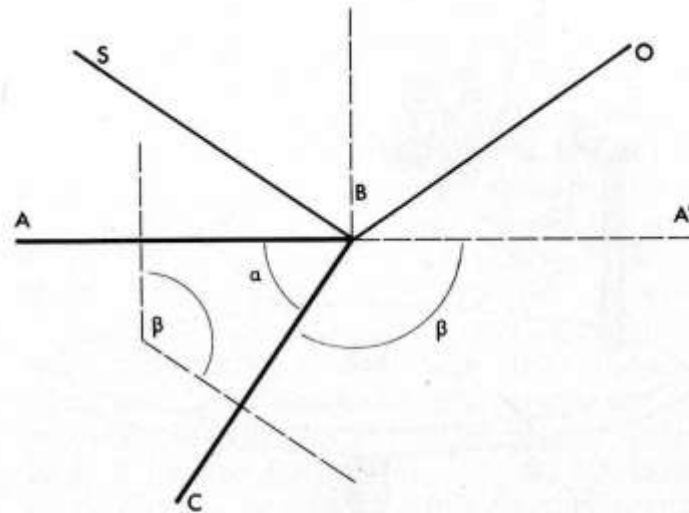


Fig. 9.2

Fig. 9.1 Goniometro ad applicazione o di Carangeot.

Fig. 9.2 Schema del principio su cui si basano i goniometri a riflessione: AB e BC sezioni di due facce del cristallo col piano del disegno,  $\alpha$  angolo diedro tra le facce AB e BC,  $\beta$  angolo tra le normali, SB direzione del raggio di luce incidente, BO direzione del raggio di luce riflesso da una faccia del cristallo.

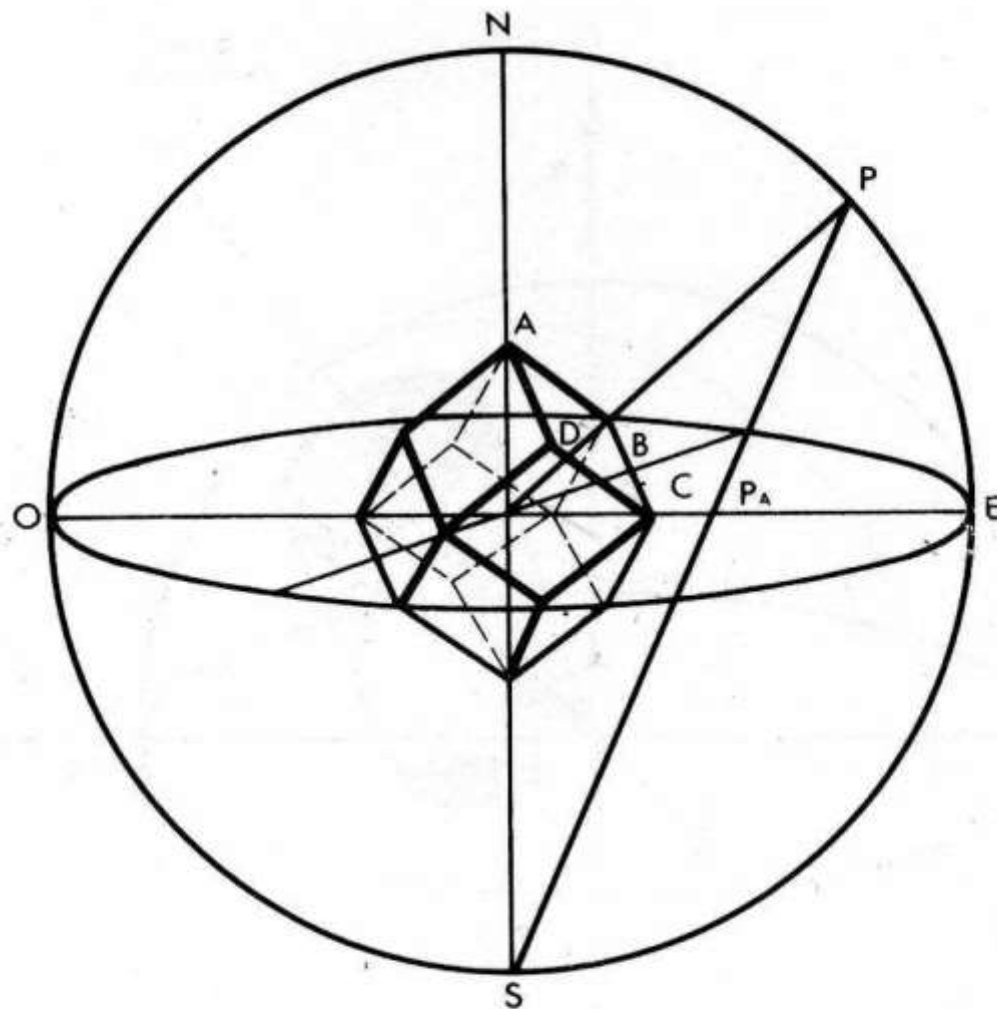
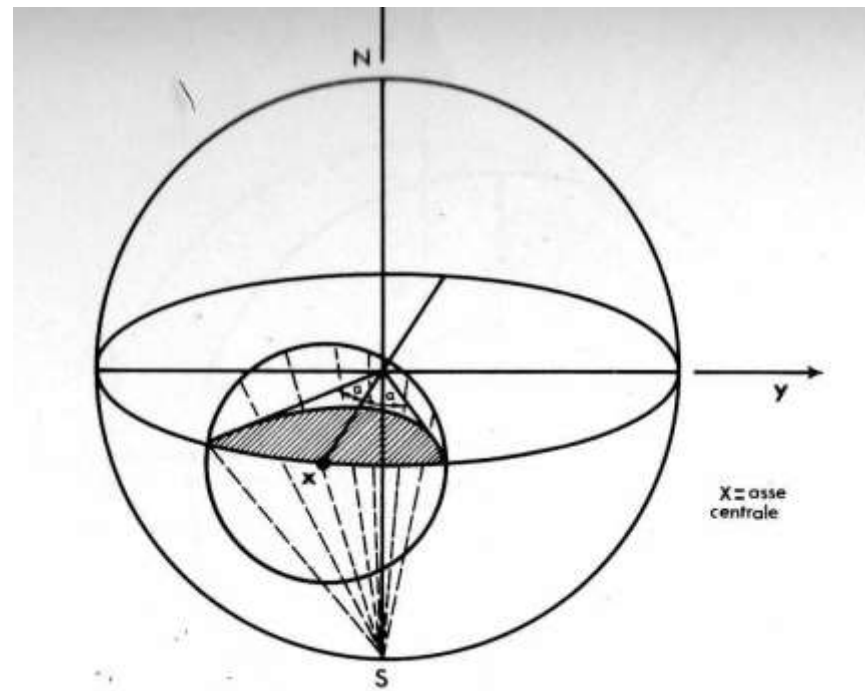
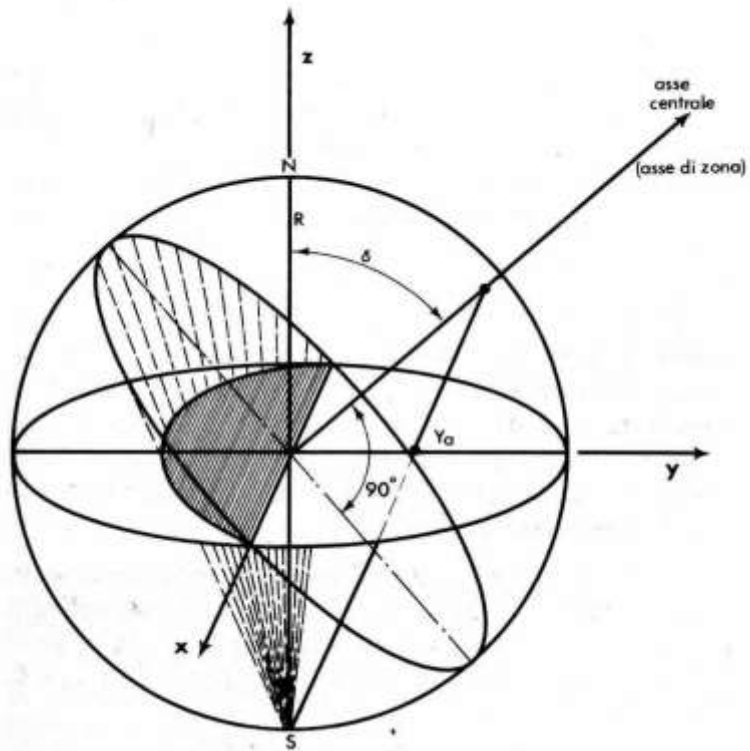
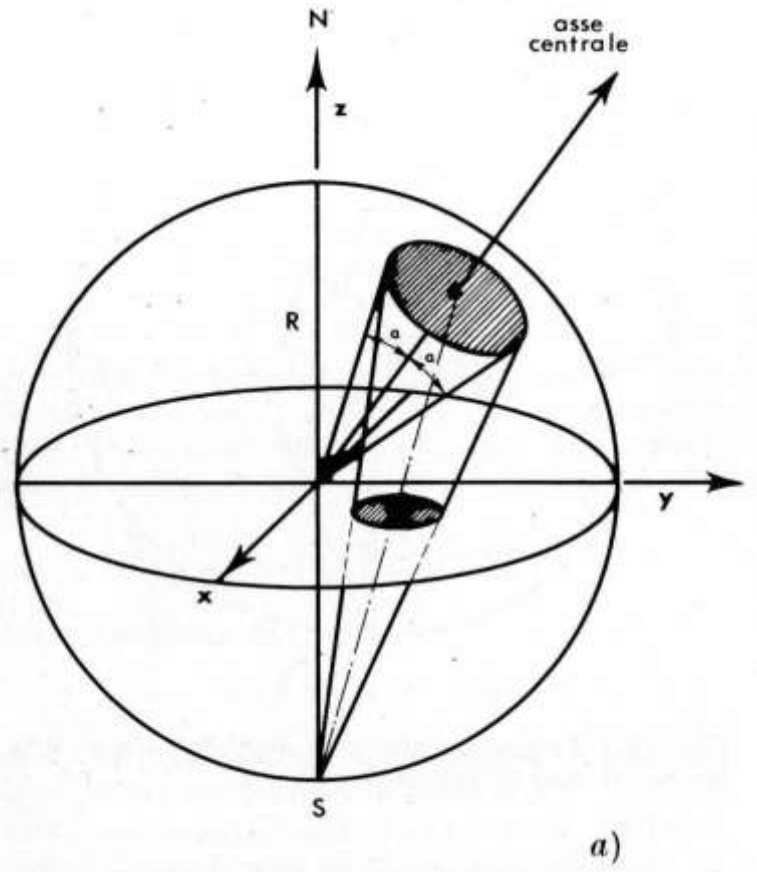
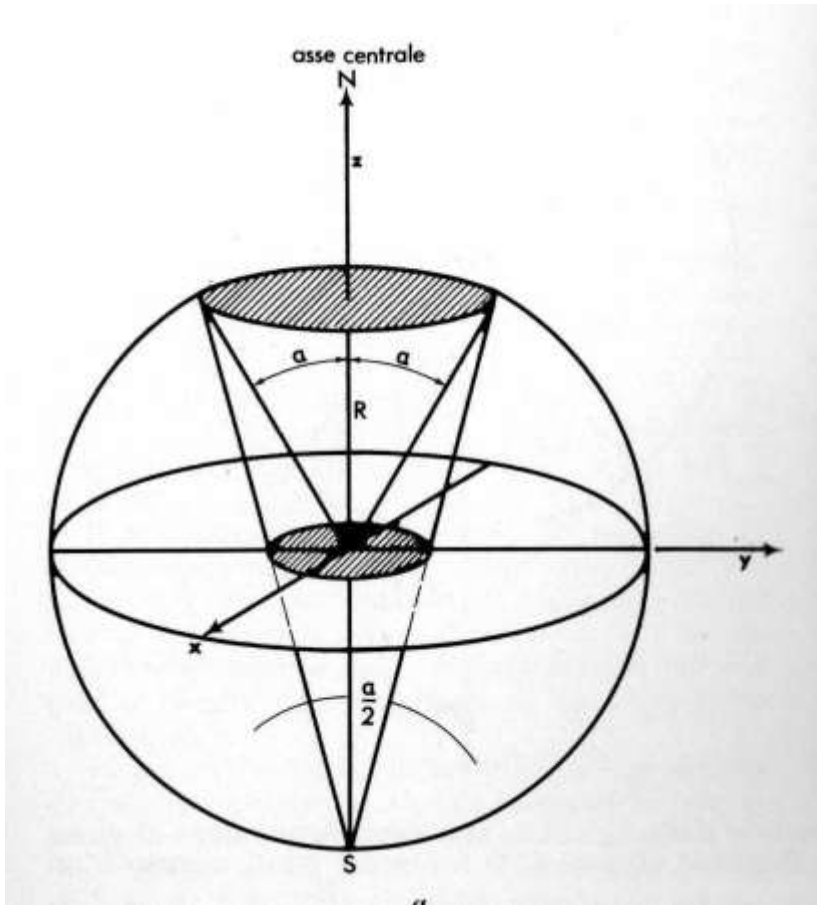


Fig. 12.1 Proiezione sferica e stereografica di una faccia di rombododecaedro.





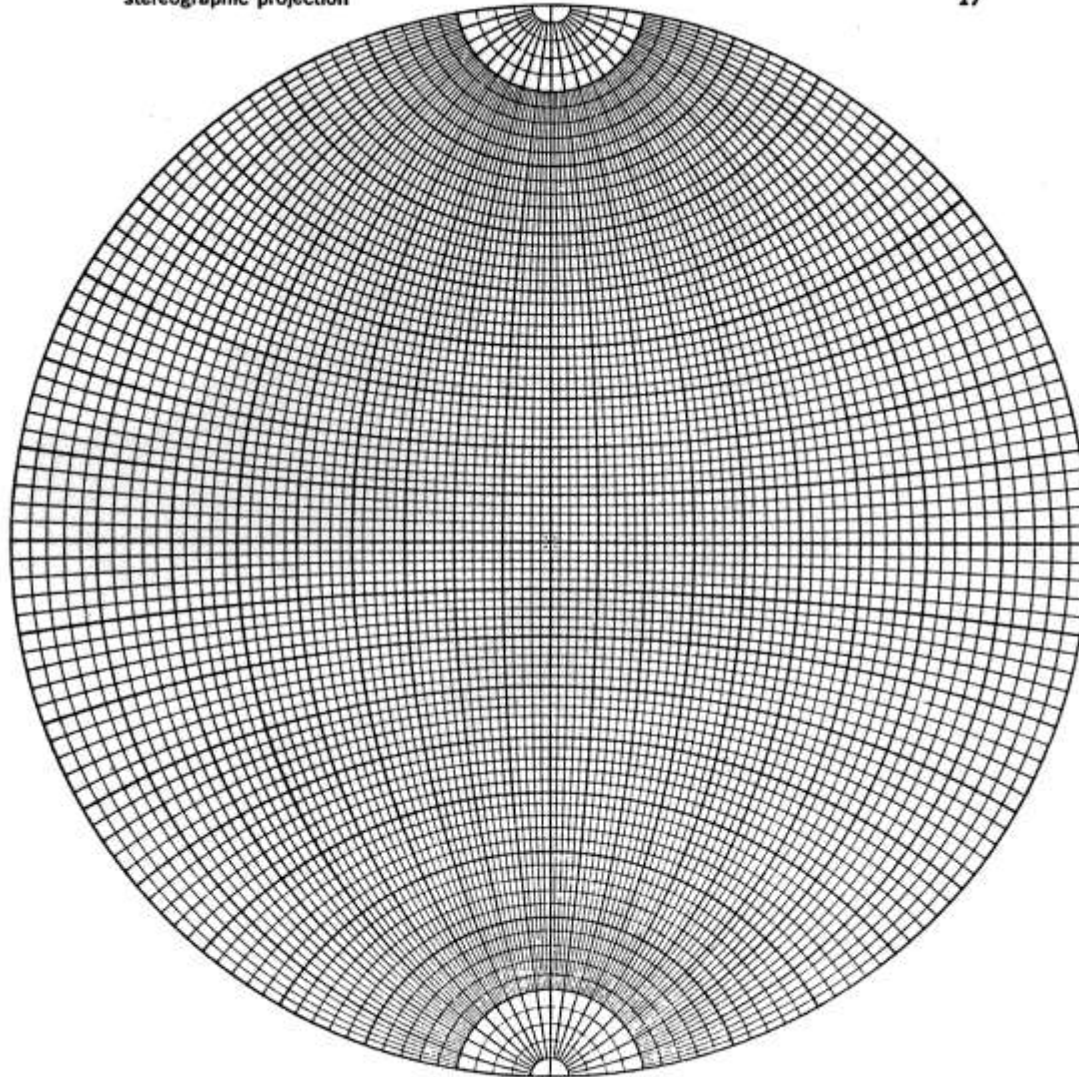
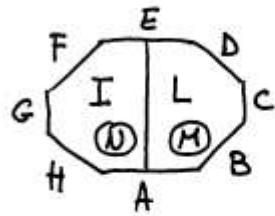


FIG. 3-1 STEREOGRAPHIC NET.



I<sup>a</sup> zona

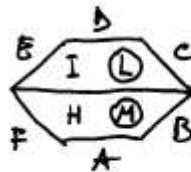
A	0
B	46
C	44
D	90
E	46
F	134
G	46
H	180
A	46
	226
	44
	270
	44
	314
	46
	360

II<sup>a</sup> zona

C	0
L	60
I	60
G	120
N	60
M	180
C	60
	260
	60
	300
	60
	360

III<sup>a</sup> zona

A	0
L	80
E	100
N	80
A	180
	260
	100
	360



I<sup>o</sup> zona

A	0
B	57
C	57
D	123
E	57
F	180
A	57
	237
	66
	303
	57
	360

II<sup>o</sup> zona

A	0
H	53
I	74
D	53
L	180
M	53
A	233
	74
	307
	53
	360

III<sup>o</sup> zona

B	0
H	20
E	110
L	20
B	180
	250
	110
	360

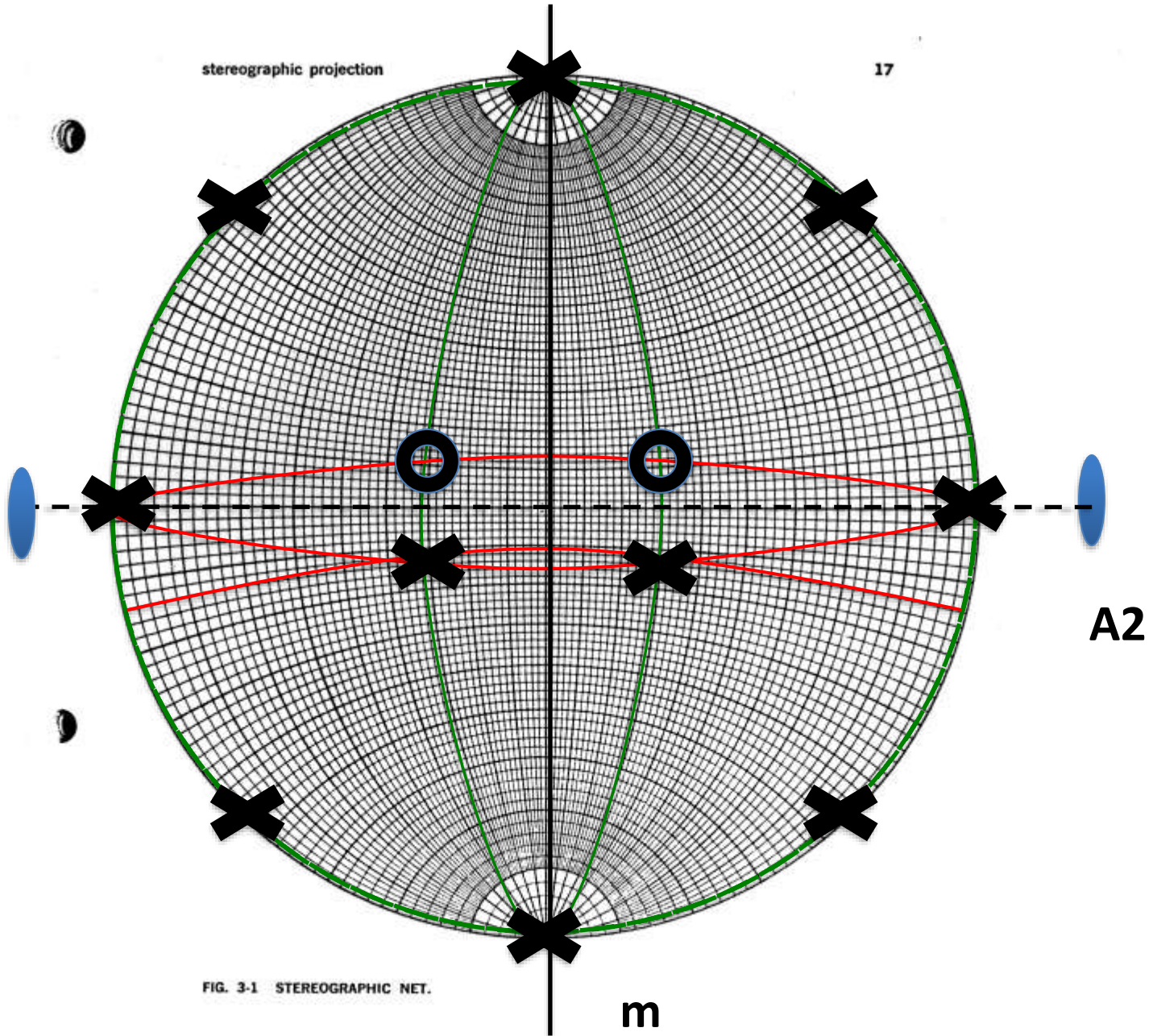


FIG. 3-1 STEREOGRAPHIC NET.